

حل عددی مسائل جابجایی خالص یک بعدی با استفاده از روش بدون شبکه تیلور گالرکین

مرتبه بالا

*^۲ سامان اسپهبدی نیا^۱، علی رحمانی فیروزجائی

- ۱- کارشناسی ارشد، دانشکده مهندسی عمران، دانشگاه صنعتی نوشیروانی بابل، ایران
- ۲- دانشیار، دانشکده مهندسی عمران، دانشگاه صنعتی نوشیروانی بابل، ایران

پست الکترونیکی نویسنده‌گان:

rahmani@nit.ac.ir

چکیده:

در این پژوهش، روش بدون شبکه تیلور گالرکین مرتبه‌ی بالا برای حل مسائل جابجایی خالص یک بعدی ارائه شده است. در حل عددی این گونه مسائل با روش گالرکین استاندارد، به علت غلبه‌ی جملات جابجایی بر جملات پخش، نتایج تحلیل ناپایدار می‌شوند. لذا می‌توان با افزودن جمله‌ای تحت عنوان جمله‌ی پایداری به معادله، تاثیر جملات جابجایی را کاهش داد. محدودیت توابع شکل گالرکین استاندارد در مشتق‌پذیری، سبب شده است که تنها استفاده از جملات پایداری با مشتق مرتبه‌ی اول در معادله میسر باشد. در روش ارائه شده، با استفاده از تابع شکل حداقل مربعات متحرک و تابع وزن نمایی، از جملات پایداری با مشتق‌های بالا در معادلات استفاده می‌شود. برای بررسی این روش، دو مسئله‌ی مرجع جابجایی خالص یک بعدی، یعنی حرکت موج گوسی و ضربه‌ی قوچ کلاسیک، شبیه‌سازی شده‌اند. نتایج نشان می‌دهد که با هر مرحله افزایش مرتبه‌ی جمله پایداری، دقت نتایج افزایش و نوسانات آن کاهش یافته است.

واژگان کلیدی:

مسائل جابجایی خالص، روش بدون شبکه تیلور گالرکین مرتبه بالا، روش اجزای محدود، جملات دقت مرتبه بالا

* علی رحمانی فیروزجائی، دانشیار، دانشکده مهندسی عمران، دانشگاه صنعتی نوشیروانی بابل، ایران.

ایمیل: rahmani@nit.ac.ir (نویسنده مسئول مقاله)

Numerical solution for one-dimensional pure-convection problems using the high-order Taylor-Galerkin element-free method

Saman Espahbodi Nia ¹, Ali Rahmani Firouzjaei ¹

¹- Master of science, Babol Noshirvani University of Technology, Iran

¹- Associate Professor, Babol Noshirvani University of Technology, Iran.

Abstract:

The present study proposes a novel approach for solving one-dimensional pure convection problems, utilizing a high-order Taylor Galerkin element-free method. The standard Galerkin method has limitations in solving such problems due to the predominance of convective terms over diffusion terms, leading to unstable and fluctuating analysis results over time. To address this issue, high-order stabilizing terms can be added to the standard Galerkin method. However, due to the limitations in the derivability of the standard Galerkin shape function, it is not possible to incorporate high-order terms in the equation. In this context, the proposed high-order Taylor Galerkin element-free method enables the inclusion of stabilizing terms with high-order derivatives in the equations, utilizing the moving least-squares (MLS) shape function and exponential weight function, which exhibit the continuity of all their derivatives. This approach provides a promising solution for addressing the limitations of the finite element method and achieving more accurate and stable analysis results for one-dimensional pure convection problems. The accuracy of the numerical simulation was evaluated using two one-dimensional pure convection benchmark problems: the Gaussian wave motion problem and the classical water hammer problem, both analyzed up to the fourth-order. The results of the numerical simulations demonstrated that increasing the number of stabilizing terms led to improved accuracy and decreased fluctuations. Therefore, it can be concluded that the stability terms up to the fourth-order in the equations display acceptable accuracy for these two problems. This development has significant implications for the analysis of fluid mechanics and other related phenomena. By enabling a more comprehensive analysis of fluid dynamics, researchers can investigate complex fluid dynamics with greater precision and detail, yielding valuable insights into a wide range of physical processes. In conclusion, the proposed high-order Taylor Galerkin element-free method is a noteworthy advancement in numerical analysis, overcoming the limitations of the standard Galerkin method and demonstrating superior accuracy and stability in the solution of pure convection problems. This approach provides an efficient and accurate method for numerical analysis and has the potential to be extended to other areas of research, including computational fluid dynamics, heat transfer, and structural mechanics.

Keywords: Pure convection problem, High-order Taylor-Galerkin element-free method, Finite element method, High-order terms.

۱- مقدمه و تاریخچه تحقیقات

پایدار شدن جواب و از بین رفتن نوسانات می‌شود. افزودن مفرط این وزن باعث هموار^۵ شدن بیش از اندازه‌ی نتایج شده، به همین علت رابطه‌ای برای یافتن مقدار بهینه برای این وزن مجازی ارائه شده است. این مقدار وزن مجازی با یک ضریب کنترل می‌شود و طبعاً با در نظر گرفتن ضریب صفر، هیچ مقداری از آن به وزن گالرکین استاندارد اضافه نمی‌شود و روش همان روش گالرکین استاندارد باقی می‌ماند [۲]. گایمون و همکاران برای حذف جمله‌ی جابجایی از معادله، راه مستقیمی را ارائه کردند. آن‌ها از دو تابع دلخواه استفاده نمودند که ضرب آن‌ها در یکدیگر برابر با تابع وزن می‌شود. سپس با در نظر گیری یک مقدار مناسب برای تابع اول، جمله‌ی جابجایی را صفر و معادله را خودالحاق کردند و تابع دوم را به عنوان تابع شکل در نظر گرفتند. در نتیجه با خودالحاق شدن معادله، توانستند با همان تابع وزن گالرکین استاندارد معادله را بدون نوسان حل کنند [۳]. هیوز و بروکس روش پخش خطی^۶ را که یک روش اجزای محدودی برای مسائل جابجایی-پخش و جابجایی خالص می‌باشد را ارائه کردند [۴]. چندی بعد جانسون این روش را توسعه داد که یک اصلاح پتروف گالرکین از روش استاندارد گالرکین است. در این روش جمله‌ی پخش مجازی در جهت جریان اضافه می‌شود. این کار سبب می‌شود که پخش عمود بر جریان^۷ کمتری نسبت به روش‌های کلاسیک پخش مجازی ایجاد شود [۶, ۷]. داگلاس و راسل روش مشخصه اصلاح شده را برای معادلات دیفرانسیل جزئی جابجایی-پخش در حالت غیر پایستار^۸ ارائه کردند. این روش ترکیبی از روش اجزای محدود و اختلاف محدود با روش مشخصه‌ها است. این روش مشکل اعوجاج شبکه که در روش‌های جابجایی مسیر^۹ دیده می‌شوند را ندارد. این روش معادلات دیفرانسیل جزئی را متقارن و پایدار می‌کند، بنابراین می‌توان از گام‌های زمانی بزرگ بدون از دست دادن پایداری استفاده کرد [۸]. سیلیا و همکاران روش الحق موضعی اویلری-لاگرانژی^{۱۰} را برای حل معادلات دیفرانسیل جزئی جابجایی-پخش یک بعدی معرفی کردند. این روش، یک راهکار کلی حل مشخصه برای معادلات

معادلات کلی انتقال سیالات شامل دو جمله‌ی جابجایی^۲ و پخش^۳ می‌باشند که به صورت دیفرانسیلی نمایش داده می‌شوند. جمله جابجایی مرتبط با حرکت سیال از مکانی به مکان دیگر می‌باشد که هسته‌ی اصلی آن مولفه‌ی سرعت است و در طرف مقابل، جمله‌ی پخش مرتبط با حرکت نامنظم مولکول‌های سیال است که از نقطه‌ای با غلظت بالا به نقطه‌ای با غلظت پایین‌تر جریان پیدا می‌کند. مشتقات اول معادله انتقال سیالات مربوط به جملات جابجایی و مشتقات دوم آن مربوط به جملات پخش می‌باشد. با توجه به دشواری‌های موجود در حل تحلیلی این گونه معادلات، روش‌های عددی بسیاری گسترش پیدا کردند تا تخمین مناسبی از جواب را بدست آورند.

یکی از ویژگی‌های مهم یک معادله دیفرانسیل در حل عددی، خاصیت خودالحاقی^۴ آن می‌باشد. خودالحاق بودن معادله سبب می‌شود که تقریب معادلات با روش گالرکین استاندارد (اجزای محدود) با حداقل خطا صورت گیرد. از طرفی عدم تامین این خصوصیت باعث ارائه نوسانات در نتایج و در ادامه ناپایدار شدن جواب در روش گالرکین استاندارد می‌شود. وجود جمله‌ی جایجایی در معادله‌ی انتقال سیالات سبب می‌شود که خاصیت خودالحاقی معادله از بین برود. در نتیجه روش‌های رایج عددی از جمله روش گارکین استاندارد، امکان تحلیل عددی مناسب این گونه مسائل را ندارند و با مشکلات عددی مواجه می‌شوند. این اتفاق در حالی می‌افتد که معمولاً معادلات سازه‌ای با جابجایی‌های کوچک، به علت عدم وجود جمله‌ی جابجایی در معادلات خود، خودالحاق هستند و روش گالرکین استاندارد با حداقل میزان خطا نتیجه می‌دهد.

راهکارهای متنوعی برای از بین بردن تاثیر جمله‌ی جابجایی بر معادلات ارائه شده است. زینکوویچ و همکاران با اصلاح تابع وزن، روش پتروف گالرکین را پیشنهاد کردند [۱]. ماهیت این روش افزودن یک وزن مجازی مناسب به تابع وزن گالرکین استاندارد است که سبب

^۷ Crosswind diffusion

^۸ Non-conservative

^۹ Forwarding track

^{۱۰} Eulerian-Lagrangian localized adjoint

^۲ Convection

^۳ Diffusion

^۴ Self-adjoint

^۵ Damp

^۶ Streamline diffusion

بدون شبکه مشخصه‌ی گالرکین را برای حل معادله‌ی برگارائه کردند. با استفاده از روش مشخصه‌ها، معادله خودالحاق شده و امکان گستره‌سازی مکانی با استفاده از روش گالرکین استاندارد فراهم می‌شود [۱۴]. ژانگ و همکاران یک روش گالرکین بدون شبکه نیمه لاغرانژی ارائه کردند که ترکیبی از روش بدون شبکه گالرکین^{۱۶} و روش نیمه لاغرانژی است [۱۵]. این روش برای حل معادلات مشتق جزئی با جمله‌ی جابجایی خالص گسترش داده شده است. این روش از تمام مزیت‌های روش‌های بدون شبکه بهره می‌برد؛ بنابراین مشکلات پیاده‌سازی روش نیمه لاغرانژی در ریدیابی به عقب و درونیابی نقطه خروج تا حد زیادی کاهش می‌یابد. لیو و همکاران روش حجم محدود مرتبه بالا در شبکه‌های بدون ساختار با استفاده از بازسازی تابع پایه شعاعی^{۱۷} را ارائه کردند. در این روش دقت بهبود و پراکندگی و اتلاف عددی نیز کاهش می‌یابد که آن را به یک رویکرد امیدوارکننده برای به دست آوردن نتایج دقیق‌تر در شبیه‌سازی دینامیک سیالات محاسباتی تبدیل می‌کند [۱۶]. لی و همکاران روشی را پیشنهاد می‌کنند که تجزیه متعمد مناسب^{۱۸} را با تحلیل ایزوہندسی پایدار با روش خط جریان رو به باد پتروف گالرکین^{۱۹} ترکیب می‌کند. این رویکرد امکان نمونه‌سازی کارآمد مرتبه کاهش‌یافته مسائل پیچیده جابجایی خالص شامل جابجایی، پخش و اندرکنش را فراهم می‌کند. با گرفتن حالت‌های غالب و ترکیب شیوه‌های پایداری، روش پیشنهادی دقت و کارایی محاسباتی بهبود یافته‌ای را ارائه می‌دهد [۱۷]. گریمبرگ و همکاران این ادعا را به چالش کشیدند که نمونه‌های مرتبه کاهش یافته مبتنی بر طرح‌ریزی^{۲۰} برای دینامیک سیالات محاسباتی از نظر عددی ناپایدار هستند. آن‌ها بیان کردند که بی‌ثباتی به دلیل برش مدار^{۲۱} (فرآیند کاهش ابعاد یک سیستم با کنار گذاشتن برخی از حالت‌های مرتبه بالاتر) نیست، بلکه به دلیل چارچوب گالرکین مورد استفاده است. با استفاده از چارچوب پتروف-گالرکین، می‌توان نمونه‌های مرتبه کاهش یافته مبتنی بر طرح‌ریزی

دیفرانسیل جزئی جابجایی-پخش ایجاد می‌کند و راحله‌های عددی با دقت بالایی را بدون ایجاد نوسانات غیرفیزیکی اضافی حتی در گام‌های زمانی بزرگ ارائه می‌دهد [۹]. هیوز و همکاران روش حداقل مریعت گالرکین^{۱۱} را برای مسائل جابجایی-پخش معرفی کردند. این روش ترکیبی از دو روش مجزای گالرکین استاندارد و روش حداقل مریعت است. نتایج عددی نشان می‌دهد که اگر از روش گالرکین استاندارد برای حل معادلات جابجایی-پخش استفاده شود، جواب‌ها نوسانی می‌شوند و اگر از روش حداقل مریعت استفاده گردد، جواب‌ها بیش از اندازه هموار می‌شوند. بنابراین ترکیب این دو روش با نسبت مناسب توسعه ضریب کنترلی، می‌تواند دقت قابل قبولی در جواب حل عددی ایجاد کند [۱۰].

اکثر روش‌های ارائه شده که از وزن مجازی برای افزایش جمله پخش و کم اثر کردن جمله‌ی جابجایی استفاده می‌کنند، با استفاده از آزمون و خطاهای عددی و به صورت غیر مستقیم، به ضریب مناسب و نتیجه دلخواه رسیده‌اند. در کنار این روش‌های غیرمستقیم، روش‌های مستقیم برای حل معادلات جابجایی پخش وجود دارد که می‌توان برای نمونه به روش مشخصه گالرکین^{۱۲} اشاره کرد. این روش با استفاده از خطوط مشخصه معادله را خودالحاق می‌سازد. بدین صورت می‌توان با استفاده از روش اجزای محدود بدون افروزن وزن مجازی، به جواب پایدار رسید [۱۱، ۱۲]. یکی دیگر از روش‌های مستقیم مورد استفاده، روش تیلور گالرکین^{۱۳} است که توسط دنیا معرفی شده است. در این روش از بسط‌های تیلور پیشرو^{۱۴} برای تولید تفاضل زمانی با دقت بالا استفاده می‌شود [۱۳]. از آنجایی امکان نوشتن بیشمار جمله در این بسط وجود دارد، می‌توان از جملات مرتبه بالاتر برای افزایش دقت نتایج استفاده کرد، اما با توجه به محدودیت مشتق‌پذیری تابع شکل گالرکین استاندارد، حل معادله تنها تا جملات مرتبه دوم ممکن است که پس از به شکل ضعیف^{۱۵} درآوردن، به جملات مرتبه اول تبدیل می‌شود. ژانگ و همکاران روش

^{۱۷} Radial Basis Function (RBF)

^{۱۸} Proper Orthogonal Decomposition (POD)

^{۱۹} Streamline Upwind Petrov-Galerkin (SUPG)

^{۲۰} Projection-based Reduced-Order Models (PROMs)

^{۲۱} Modal truncation

^{۱۱} Galerkin Least-Squares (GLS)

^{۱۲} Characteristic-Galerkin

^{۱۳} Taylor-Galerkin

^{۱۴} Forward-time Taylor series expansions

^{۱۵} Weak form

^{۱۶} Element Free Galerkin (EFG)

دقت گسته‌سازی زمانی را تا میزان مورد نیاز افزایش داد که این مزیت بسته به پیچیدگی مسئله بسیار کاربردی است. در ادامه ابتدا معادله انتقال سیال و نحوه گسته‌سازی زمانی و مکانی توسط روش تیلور‌گالرکین بیان می‌شود. سپس نتایج حاصل از حل دو مسئله جابجایی خالص یک بعدی بررسی می‌شود. مسئله اول مربوط به حرکت یک موج گوسی و مسئله دوم مربوط به پدیده‌ی ضربه قوچ کلاسیک است. هر دو مسئله با روش بدون شبکه تیلور‌گالرکین مرتبه بالا شبیه‌سازی و با روش اجزای محدود مشخصه گالرکین مقایسه می‌شوند.

۲ - معادلات حاکم

در این بخش برای گسته‌سازی زمانی و مکانی ابتدا معادله جابجایی خالص استخراج می‌شود و سپس با معرفیتابع شکل و وزن استفاده شده، گسته‌سازی صورت می‌پذیرد. در حالت کلی قالب معادله انتقال سیال یک بعدی با جابجایی خالص به صورت رابطه (۱) است:

$$\frac{\partial \phi}{\partial t} + \frac{\partial(U\phi)}{\partial x} = 0 \quad (1)$$

در این رابطه U سرعت معلوم، ϕ کمیت اسکالر منتقل شده توسط این سرعت، x متغیر مکان و t متغیر زمان می‌باشند. با بسط مشتق در رابطه (۱) می‌توان نوشت:

$$\frac{\partial \phi}{\partial t} + U \frac{\partial \phi}{\partial x} + \phi \frac{\partial U}{\partial x} = 0 \quad (2)$$

عبارتی که در رابطه (۲) زیر آن خط کشیده شده است، جمله‌ای است که معادله را از خودالحاقی خارج می‌کند. حال برای ساده‌سازی بیشتر معادله می‌توان فرض کرد که واگرایی^{۲۵} جریان برابر صفر باشد. بنابراین جمله‌ی سوم رابطه (۲) برابر با صفر می‌شود. در نتیجه می‌توان رابطه (۲) را به صورت رابطه (۳) ساده کرد.

$$\frac{\partial \phi}{\partial t} + U \frac{\partial \phi}{\partial x} = 0 \quad (3)$$

^{۲۵} High-order Taylor-Galerkin Meshless Method

^{۲۶} Moving Least-Squares (MLS)

^{۲۷} Divergence

پایدار و دقیقی را برای جریان‌های جابجایی خالص بدون نمونه‌های اضافی یا طراحی زیرفضا ساخت که منجر به عوامل افزایش سرعت قابل توجهی می‌شود [۱۸]. سینق و همکاران روش بدون شبکه محلی تشییت شده^{۲۲} با ناپیوستگی^{۲۳} خفیف را برای معادلات دیفرانسیل جزئی ثابت و ناپایدار تحت جابجایی ارائه می‌کند. آزمایش‌های عددی دقت و کارایی این روش را نشان می‌دهد و آن را به یک رویکرد امیدوارکننده برای حل معادلات دیفرانسیل جزئی جابجایی خالص با گوشش‌های تیز و ناپیوستگی پرش و عملکرد بهتر در مقایسه با روش‌های قدیمی مبتنی بر شبکه تبدیل می‌کند [۱۹]. جاود و همکاران یک راه حل تشییت شده با استفاده از توابع پایه شعاعی در روش تفاضل محدود^{۲۴} برای معادلات جریان جابجایی بر روی توزیع گره بدون شبکه ارائه کرند. این طرح شامل تقریب‌های مرتبه بالاتر، تعادل نیرو و تکانه، و طول مشخصه بر اساس عدد رینولدز و سرعت جریان است. نتست‌های عددی اثربخشی آن را در از بین بردن نوسانات عددی و بهبود دقت، بهویژه در جریان‌های جابجایی خالص و اطراف ایرفویل در رینولدز ۱۰۰۰۰ نشان می‌دهند [۲۰].

در روش‌هایی که از توابع شکل گالرکین استاندارد بهره می‌برند، امکان توسعه‌ی جملات معادله به مرتب بالاتر وجود ندارد. با این حال روش ارائه شده در این پژوهش تحت عنوان روش بدون شبکه تیلور‌گالرکین مرتبه بالا^{۲۵}، این امکان را فراهم می‌کند تا دقت و پایداری تحلیل، با افزودن جملات پایداری با مرتبه‌های بالا در گسته‌سازی زمانی افزایش یابد. این روش با حل مستقیم و ارائه‌ی جملات پایداری به تعداد دلخواه در معادله، این امکان را می‌دهد تا دقت تحلیل افزایش یابد. در این روش ارائه شده با بهره‌گیری از تابع شکل حداقل مربعات متحرک^{۲۶}، جملات پایداری مرتبه بالا ساخته می‌شود؛ زیرا تابع شکل حداقل مربعات متحرک محدودیت مشتق‌پذیری ندارد و برای هر نقطه دلخواه قابل محاسبه است. بهره‌گیری از تابع وزن نمایی در محاسبات تابع شکل حداقل مربعات متحرک این امکان را می‌دهد تا به علت پیوستگی تمام مشتقه‌ها مشتق‌پذیری به بدون محدودیت انجام شود. به همین علت می‌توان

^{۲۲} Stabilized Local Meshless Method (SLMM)

^{۲۳} Shock

^{۲۴} Radial Basis Functions in Finite Difference Method (RBF-FD)

$$\begin{aligned}\phi^{n+1} - \phi^n = & -\Delta t \left[U \frac{\partial \phi}{\partial x} \right]^n + \frac{\Delta t^2}{2} \left[U^2 \frac{\partial^2 \phi}{\partial x^2} \right]^n \\ & - \frac{\Delta t^3}{6} \left[U^3 \frac{\partial^3 \phi}{\partial x^3} \right]^n + \frac{\Delta t^4}{24} \left[U^4 \frac{\partial^4 \phi}{\partial x^4} \right]^n\end{aligned}\quad (6)$$

همانطور که ملاحظه می‌شود، جملات مرتبه بالای دوم، سوم و چهارم به معادله‌ی مرتبه اول اضافه شده است.

۲-۱- تابع شکل حداقل مربعات متغیر ۲-۲- گسسته‌سازی مکانی

پیش از گسسته‌سازی مکانی لازم است روابط تابع شکل حداقل مربعات متغیر و تابع وزن مورد استفاده مورد بحث قرار گیرد. برای تقریب تابع مجھول u^h ، رابطه (۷) در نظر گرفته می‌شود:

$$u^h(x) = \sum_{i=1}^{n_p} p_i(x) a_i(x) \equiv p^T(x) a(x) \quad (7)$$

در این رابطه $p^T(x)$ بردار توابع پایه و $a(x)$ بردار ضرایب می‌باشد. بردار ضرایب $a(x)$ را می‌توان به صورت رابطه (۸) نوشت:

$$a^T(x) = \{a_1(x), a_2(x), a_3(x), \dots, a_{n_p}(x)\} \quad (8)$$

در رابطه (۷)، n_p تعداد جملات بردار توابع پایه $p^T(x)$ است که عموماً با استفاده از چند جمله‌ای‌های خیام-پاسکال نوشته می‌شود. بردار توابع پایه چندجمله‌ای از مرتبه n_p در فضای یک بعدی به صورت رابطه (۹) می‌باشد:

$$\begin{aligned}p^T(x) = & \{p_0(x), p_1(x), p_2(x), \dots, p_{n_p}(x)\} \\ = & \{1, x, x^2, \dots, x^{n_p}\}\end{aligned}\quad (9)$$

برای محاسبه بردار ضرایب $(x)^a$ ، تابع خطای وزن‌دار زیر کمینه می‌شود:

$$\begin{aligned}J = & \sum_I^m W(x - x_I) \left[u^h(x, x_I) - u(x_I) \right]^2 \\ = & \sum_I^m W(x - x_I) \left[p^T(x_I) a(x) - u(x_I) \right]^2\end{aligned}\quad (10)$$

این رابطه نشان‌دهنده معادله جابجایی خالص یک بعدی با یک متغیر وابسته می‌باشد.

۲-۱- گسسته‌سازی زمانی

در روش بدون شبکه تیلور گالرکین مرتبه بالا، برای گسسته‌سازی زمانی از بسط تیلور استفاده می‌شود. بسط تیلور در حالت صریح^{۲۸} برای جملات تا مشتق مرتبه چهارم به صورت رابطه (۴) است.

$$\begin{aligned}\phi^{n+1} = & \phi^n + \Delta t \frac{\partial \phi^n}{\partial t} + \frac{\Delta t^2}{2} \frac{\partial^2 \phi^n}{\partial t^2} + \frac{\Delta t^3}{6} \frac{\partial^3 \phi^n}{\partial t^3} \\ & + \frac{\Delta t^4}{24} \frac{\partial^4 \phi^n}{\partial t^4} + O(\Delta t^5)\end{aligned}\quad (4)$$

حال می‌توان طبق رابطه (۳) عبارت‌های زیر را نوشت:

$$\begin{aligned}\frac{\partial \phi^n}{\partial t} &= \left[-U \frac{\partial \phi}{\partial x} \right]^n \\ \frac{\partial^2 \phi^n}{\partial t^2} &= \frac{\partial}{\partial t} \left[-U \frac{\partial \phi}{\partial x} \right]^n \\ \frac{\partial^3 \phi^n}{\partial t^3} &= \frac{\partial^2}{\partial t^2} \left[-U \frac{\partial \phi}{\partial x} \right]^n \\ \frac{\partial^4 \phi^n}{\partial t^4} &= \frac{\partial^3}{\partial t^3} \left[-U \frac{\partial \phi}{\partial x} \right]^n\end{aligned}\quad (5)$$

با جایگذاری روابط (۵) در رابطه (۴) و با فرض U به عنوان مقداری ثابت، جمله‌ی $\frac{\partial \phi}{\partial t}$ را می‌توان با جمله‌ی $\frac{\partial \phi}{\partial x}$ جایجا کرد. رویکرد جایگذاری جمله‌ی $\frac{\partial \phi}{\partial t}$ با جمله $\frac{\partial \phi}{\partial x}$ و همینطور بازنویسی رابطه (۳) به جای $\frac{\partial \phi}{\partial t}$ تا جایی ادامه پیدا می‌کند تا تمام جملات دارای مشتقات زمانی تبدیل به جملاتی با مشتقات مکانی شوند. در نهایت رابطه (۶) بدست می‌آید.

^{۲۸} Explicit

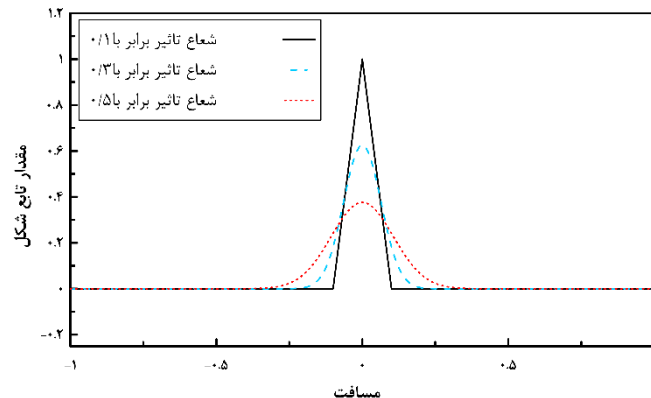
به این ترتیب بردار توابع شکل حداقل مربعات متحرک برای m گره به صورت رابطه (۱۸) تعریف می‌شود:

$$N(x) = [N_1(x), N_2(x), N_3(x), \dots, N_m(x)] \quad (18)$$

لازم به بیان است به طور کلی تابع شکل حداقل مربعات متحرک شرط دلتای کرونکر را برآورده نمی‌کند [۲۱].

در شکل ۱ تابع شکل حداقل مربعات متحرک با شعاع‌های تاثیر مختلف برای گرهی $x=0$ رسم شده است. تعداد ۲۱ گره با فواصل مکانی $1/10$ در دامنه $-1 \rightarrow 1$ قرار گرفته‌اند و بردار تابع پایه به صورت

$$p^T(x) = \{1, x\}$$



شکل ۱- تابع شکل حداقل مربعات متحرک با شعاع‌های تاثیر مختلف برای گرهی $x=0$

۲-۲- تابع وزن

تابع وزن پارامتری موثر در تابع شکل حداقل مربعات متحرک است. این تابع به صورت مستقیم در ماتریس‌های $A(x)$ و $B(x)$ و در پیوسته و هموار بودن تابع شکل نقش دارد. تابع وزن باید دارای چهار ویژگی باشد [۲۱]:

۱- برای نقاط درون دامنه تاثیر، $W(x-x_i)$ بزرگ‌تر از صفر باشد.

۲- برای نقاط خارج از دامنه تاثیر، $W(x-x_i)$ برابر با صفر باشد.

۳- با دور شدن از نقطه مورد نظر، تابع به شکل یکنواخت و هموار کاهش یابد.

۴- تابع به اندازه‌ی کافی، خصوصاً در مرزها هموار باشد.

در رابطه‌ی بالا x_I به عنوان مختصات گره مورد نظر، x به عنوان مختصات نقطه مورد نظر، u_I تعداد گره‌ها، m مقدار پارامتر گرهی در گره x_I و $W(x-x_I)$ تابع وزن می‌باشد. حال با قرار دادن $\frac{\partial J}{\partial a} = 0$ می‌توان نوشت:

$$A(x)a(x) = B(x)U_s \quad (11)$$

در رابطه‌ی بالا، U_s برداری است که شامل تمام پارامترهای گرهی نقاط درون شعاع موثر می‌باشد.

$$U_s = \{u_1, u_2, u_3, \dots, u_m\}^T \quad (12)$$

ماتریس‌های $A(x)$ و $B(x)$ به صورت رابطه (۱۳) تعریف می‌شوند:

$$A(x) = \sum_{I=1}^m W(x-x_I) p(x_I) p^T(x_I) \quad (13)$$

$$B(x) = [B_1, B_2, B_3, \dots, B_m] \quad (14)$$

$$B_I = W(x-x_I) p(x_I)$$

لازم به ذکر است که با توجه به اینکه $p(x_I)$ یک بردار $1 \times n$ و $p^T(x_I)$ یک بردار $n \times 1$ است، $A(x)$ یک ماتریس $n \times n$ خواهد شد. با حل معادله (۱۱)، $a(x)$ به صورت رابطه (۱۵) بدست می‌آید.

$$a(x) = A^{-1}(x)B(x)U_s \quad (15)$$

با جایگذاری معادله (۱۵) در معادله (۷)، تابع تقریب به شکل رابطه (۱۶) نوشته می‌شود:

$$u^h(x) = \sum_{I=1}^m \sum_{j=1}^{n_p} p_j(x) (A^{-1}(x)B(x))_{ji} u_I \quad (16)$$

$$= \sum_{I=1}^m N_I(x) u_I = N^T(x) U_s$$

در رابطه‌ی بالا، $p_j(x)$ مربوط به جمله j ام $p(x)$ است. $N_I(x)$ تابع شکل حداقل مربعات متحرک گره I می‌باشد و به صورت رابطه (۱۷) تعریف می‌شود:

$$N_I(x) = \sum_{j=1}^{n_p} p_j(x) (A^{-1}(x)B(x))_{ji} = p^T A^{-1} B_I \quad (17)$$

حال باید مقادیر روابط (۲۱) در رابطه (۲۲) جایگذاری شوند. صورت کلی رابطه باقیمانده وزن دار به شکل رابطه (۲۳) است:

$$\int N_a R(x) dx = 0 \quad (23)$$

که در این رابطه در وضعیتی که هیچ گونه جمله‌ی منبع در مسئله وجود نداشته باشد $R(x) = 0$, $Q = 0$ برابر با رابطه (۲۴) است.

$$R(x) = \sum N_b \bar{\phi}^{n+1} - \sum N_b \bar{\phi}^n + \Delta t \left[U \frac{\partial \left(\sum N_b \bar{\phi}^n \right)}{\partial x} \right]^n - \frac{\Delta t^2}{2} \left[U^2 \frac{\partial^2 \left(\sum N_b \bar{\phi}^n \right)}{\partial x^2} \right]^n + \frac{\Delta t^3}{6} \left[U^3 \frac{\partial^3 \left(\sum N_b \bar{\phi}^n \right)}{\partial x^3} \right]^n - \frac{\Delta t^4}{24} \left[U^4 \frac{\partial^4 \left(\sum N_b \bar{\phi}^n \right)}{\partial x^4} \right]^n = 0 \quad (24)$$

با حل انتگرال باقیمانده وزن دار و مرتب سازی آن می‌توان رابطه (۲۵) را نوشت:

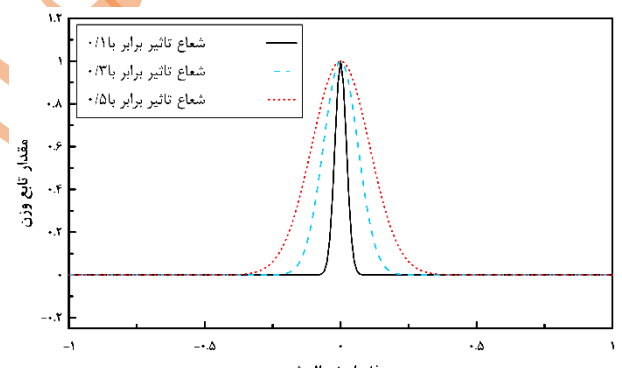
در این پژوهش پیوستگی مرتبه چهارم تابع شکل نیاز است، به همین علت تابع وزن نمایی مورد استفاده قرار گرفته است که تمامی مشتقات آن پیوسته است؛ بدین صورت امکان حل معادلات مرتبه بالا ممکن می‌شود. روابط تابع وزن نمایی به صورت رابطه (۱۹) است:

$$W(x-x_I) \equiv W(\bar{d}) = \begin{cases} e^{-\frac{(\bar{d}/0.3)^2}{2}} & \bar{d} \leq 1 \\ 0 & \bar{d} > 1 \end{cases} \quad (19)$$

در این رابطه \bar{d} تحت عنوان فاصله نرمال شده، به عنوان پارامتری است که به صورت رابطه (۲۰) تعیین می‌شود:

$$\bar{d} = \frac{|x-x_I|}{d_w} = \frac{d}{d_w} \quad (20)$$

در رابطه بالا d_w بیانگر شعاع تاثیر نقطه مورد نظر است [۲۱]. در شکل ۲ تابع وزن نمایی با شعاع‌های تاثیر مختلف در دامنه $-1 \leq x \leq 1$ نشان داده شده است.



شکل ۲- تابع وزن نمایی با شعاع‌های تاثیر مختلف

۲-۲-۳- گسسته‌سازی مکانی گالرکین

گسسته‌سازی مکانی با روش گالرکین انجام می‌شود. ابتدا برای تقریب متغیر می‌توان نوشت:

$$\phi^{n+1} = \sum N_b \bar{\phi}^{n+1} \quad \phi^n = \sum N_b \bar{\phi}^n \quad (21)$$

رابطه (۶) را می‌توان به صورت رابطه (۲۲) نوشت:

$$\phi^{n+1} - \phi^n + \Delta t \left[U \frac{\partial \phi}{\partial x} \right]^n - \frac{\Delta t^2}{2} \left[U^2 \frac{\partial^2 \phi}{\partial x^2} \right]^n + \frac{\Delta t^3}{6} \left[U^3 \frac{\partial^3 \phi}{\partial x^3} \right]^n - \frac{\Delta t^4}{24} \left[U^4 \frac{\partial^4 \phi}{\partial x^4} \right]^n = 0 \quad (22)$$

عبارتی که در رابطه (۲۸) زیر آن خط کشیده شده است، بیانگر جملات مرتبه دقت بالای معادله است. همانطور که پیش تر گفته شد، روش گالرکین استاندارد با معادلات مرتبه اول، توانایی حل مسائل جابجایی خالص را ندارد و همیشه ناپایدار است. این نکته نیز قابل توجه است که در روش اجزای محدود مشخصه گالرکین، قابلیت توسعهٔ معادلات تا مرتبهٔ چهارم (و به طور کلی تا مرتبه‌های بالاتر از دو) وجود ندارد و تنها ممکن است که تا جملهٔ مرتبه دوم نوشته شود. این جمله پس از به شکل ضعیف درآمدن، به مرتبهٔ اول تبدیل می‌شود و با تابع شکل اجزای محدود قابل حل است. اما با استفاده از روش توسعه داده شده بدون شبکه تیلور گالرکین مرتبه بالا، می‌توان جملات را تا مرتبهٔ دلخواه نوشت و دقت تحلیل را افزایش داد. با توجه به پیچیدگی مسئله و نیاز به دقت بالاتر، می‌توان جملات مرتبه بالا را افزایش یا کاهش داد. در روش اجزای محدود مشخصه گالرکین به علت ساده‌تر بودن تابع شکل، محاسبات عددی بسیار سریع‌تر از روش بدون شبکه تیلور گالرکین صورت می‌پذیرد. همچنین استفاده از مرتبه‌های دقت بالاتر به حجم محاسبات عددی می‌افزاید. لازم به ذکر است برای حالت‌های دو و سه بعدی نیاز است توابع شکل به همراه مشتقان آن دو و سه بعدی شوند که به طور قابل ملاحظه‌ای به فرآیند زمان محاسبات می‌افزایند. با این حال، پرداختن این هزینه‌ی محاسباتی موجب افزایش دقت در تحلیل عددی مسائل نسبت به روش مشخصه گالرکین می‌شود.

۳- نتایج و بحث

برای بررسی تاثیر جملات مرتبهٔ بالای روش تیلور گالرکین و مقایسه‌ی آن با روش اجزای محدود مشخصه گالرکین، ابتدا مسئله مرجع موج گوسی مورد تحلیل قرار گرفته است [۲۱]. این مسئله با مرتبه‌های مختلف جملهٔ پایداری، در شعاع‌های تاثیر متفاوت حل شده است؛ تا اثر جملات با مشتق مرتبه بالا را در روش بدون شبکه تیلور گالرکین نشان دهد. در انتهای مسئلهٔ اول نیز خطاهای هر روش نشان داده شده است. مسئله دوم بررسی شده، مسئلهٔ مرجع ضربه‌ی قوچ کلاسیک است. نتایج روش بدون شبکه تیلور گالرکین مرتبه بالا و روش اجزای محدود مشخصه گالرکین مورد مقایسه قرار گرفتند.

$$\int N_a N_b dx \times \Delta \bar{\phi}^n = -\Delta t \left(\int N_a \left[U \frac{\partial N_b \bar{\phi}^n}{\partial x} \right]^n dx \right) \bar{\phi}^n + \frac{\Delta t^2}{2} \left(\int N_a \left[U^2 \frac{\partial^2 (N_b \bar{\phi}^n)}{\partial x^2} \right]^n dx \right) \bar{\phi}^n + \frac{\Delta t^3}{6} \left(\int N_a \left[U^3 \frac{\partial^3 (N_b \bar{\phi}^n)}{\partial x^3} \right]^n dx \right) \bar{\phi}^n - \frac{\Delta t^4}{24} \left(\int N_a \left[U^4 \frac{\partial^4 (N_b \bar{\phi}^n)}{\partial x^4} \right]^n dx \right) \bar{\phi}^n \quad (25)$$

رابطه (۲۵) را می‌توان به شکل رابطه (۲۶) نوشت:

$$M \times \Delta \bar{\phi}^n = -\Delta t (C) \bar{\phi}^n + \frac{\Delta t^2}{2} (K_u) \bar{\phi}^n - \frac{\Delta t^3}{6} (K_{uu}) \bar{\phi}^n + \frac{\Delta t^4}{24} (K_{uuu}) \bar{\phi}^n \quad (26)$$

که طبق رابطه (۲۷) برابر هستند با:

$$M = \int N_a N_b dx \\ C = \int N_a U \frac{\partial N_b}{\partial x} d \\ K_u = \int N_a U^2 \frac{\partial^2 N_b}{\partial x^2} dx \\ K_{uu} = \int N_a U^3 \frac{\partial^3 N_b}{\partial x^3} dx \\ K_{uuu} = \int N_a U^4 \frac{\partial^4 N_b}{\partial x^4} dx \quad (27)$$

رابطه (۲۶) به شکل رابطه (۲۸) ساده می‌شود:

$$M \times \Delta \bar{\phi}^n = \left[-\Delta t C + \frac{\Delta t^2}{2} K_u - \frac{\Delta t^3}{6} K_{uu} + \frac{\Delta t^4}{24} K_{uuu} \right] \bar{\phi}^n \quad (28)$$

۳-۱- مسئله موج گوسی

مسئله اول مربوط به حرکت یک موج گوسی است که متغیر ϕ در آن، یک متغیر اسکالر و نشان دهندهی غلظت سیال است. از آنجایی که هدف پژوهش بررسی روش بدون شبکه تیلور گالرکین مرتبه دو در یک بعد است، بنابراین حرکت موج در بعد افقی با سرعت ثابت در نظر گرفته شده است. معادله حاکم این مسئله در یک بعد به صورت رابطه (۲۹) است:

$$\frac{\partial \phi}{\partial t} + U \frac{\partial \phi}{\partial x} = 0 \quad (29)$$

در این رابطه، U برابر با واحد در نظر گرفته شده است. شرایط مرزی در پیچله در مرزها نیز به صورت رابطه (۳۰) است:

$$\phi(x, t) = 0 \quad , \quad x = 0 \quad (30)$$

همچنین دامنه مسئله در حالت اول به صورت $x = (-1, +1)$ و در حالت دوم برای شرایط طولانی $x = (-1, +10)$ می‌باشد.

شرط اولیه نیز برابر است با:

$$\phi(x, t=0) = e^{-\frac{r^2}{2\alpha^2}} \quad (31)$$

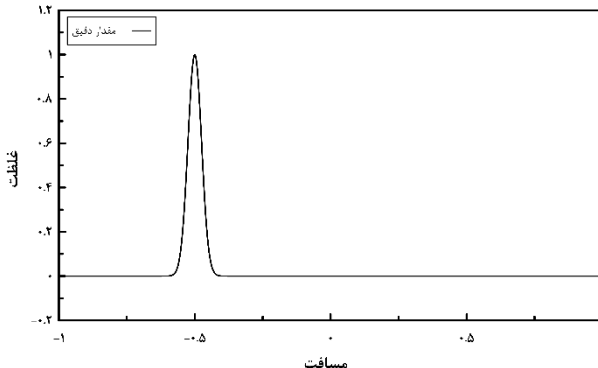
که در رابطه بالا $r = x - x_0$ ، فاصله‌ی بین نقطه x و نقطه x_0 برابر $0/5$ - می‌باشد. همچنین ضریب α مقدار ثابتی است که اندازه موج گوسی را کنترل می‌کند که برابر با $0/25$ در نظر گرفته شده است. لازم به ذکر است هر چه مقدار آلفا (α) کمتر باشد، موجی با شیب تندری در تحلیل تشکیل می‌شود و شبیه‌سازی عددی آن سخت‌تر می‌شود. برای تحلیل، در حالت اول پس از گذشت مدت زمان $1/2$ ثانیه و در حالت دوم پس از گذشت 10 ثانیه، نتایج روش‌های مختلف با مقدار دقیق مقایسه می‌شوند تا میزان خطای تحلیل عددی آن‌ها مشخص شود. برای اندازه‌گیری خطای از نرم خطای L_2 استفاده شده است.

$$L_2 = \sqrt{\sum_{i=1}^N (\phi_i^{exact} - \phi_i^{numerical})^2} \quad (32)$$

دامنه محاسباتی به 200 سلوول پس‌زمینه تقسیم شده که شامل گره با فاصله‌های $\Delta x = 0/01$ است. درون هر کدام از این سلوول‌های پس‌زمینه، از 10 نقطه‌ی گوس استفاده شده است.

همچنین گام زمانی (Δt) برابر با $0/005$ ثانیه در نظر گرفته شده است. برای برداشت جامع‌تر از نتایج، نسبت عدد کوانت هر مسئله بیان شده است. در ادامه نتایج روش اجزای محدود مشخصه گالرکین و روش بدون شبکه تیلور گالرکین مرتبه دوم، سوم و چهارم در حالت آلفا برابر با $0/025$ پس از گذشت $1/2$ ثانیه از حالت اولیه نمایش داده می‌شود. هر مرحله با سه شعاع تاثیر متفاوت تحلیل می‌شود و میزان خطای هر شعاع تاثیر مشخص شده است. همچنین نتایج این روش با روش فرام^{۲۹} و روش پیشرو در زمان و پسرو در مکان^{۳۰} مقایسه شده است.

برای بررسی، ابتدا نتایج اجزای محدود مشخصه گالرکین مورد تحلیل قرار گرفته است. در حالت ابتدایی با اعمال شرایط اولیه شکل ۳ حاصل شده است.



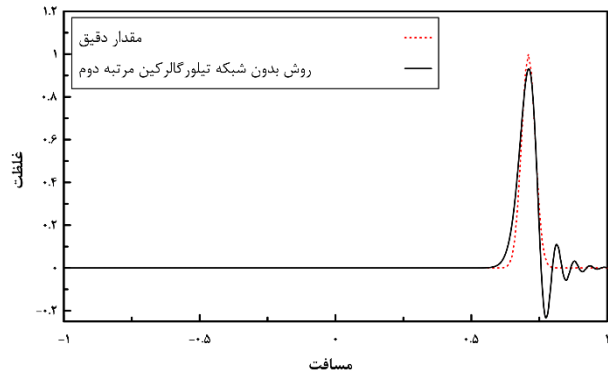
شکل ۳- شرایط اولیه در مسئله حرکت موج گوسی

در روش‌های معمول مانند روش گالرکین استاندارد (اجزای محدود)، نتایج پس از گذشت چند گام زمانی نوسانی شده و در نهایت ناپایدار می‌گردند. در شکل ۴ نتیجه روش گالرکین استاندارد پس از گذشت $0/2$ ثانیه مشخص شده است.

^{۲۹} FTBS (Forward Time Backward Space)

^{۳۰} Fromm

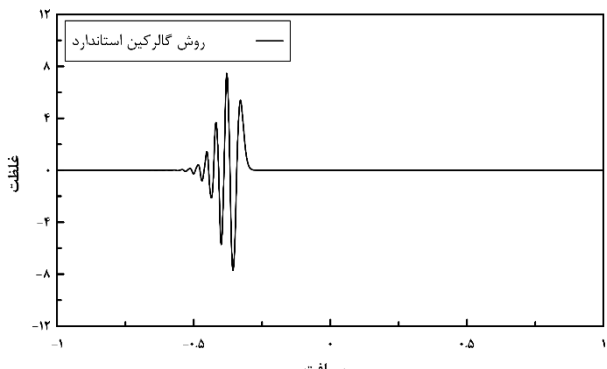
تاثیر، نتایج خوبی برای مسائل حاصل می‌کند [۱۶]. طبق تجربه استفاده از شعاع‌های تاثیر بزرگ به علت درگیر کردن نقاط دورتر در محاسبات، سبب کاهش دقت نتایج می‌شود؛ با این حال این موضوع به پیچیدگی مسئله و دقت مرتبه استفاده شده بستگی دارد. همچنین استفاده از شعاع‌های تاثیر بسیار کوچک باعث بد وضع شدن ماتریس A شده و خطای وارون آن زیاد و حتی در شرایطی وارون‌ناپذیر می‌گردد.



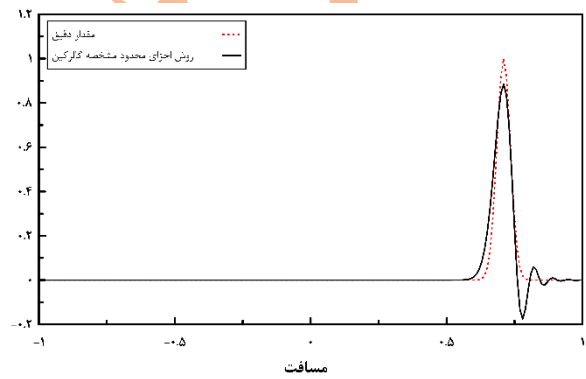
شکل ۴- مقایسه نتایج جواب دقیق و روش بدون شبکه تیلور گالرکین مرتبه دوم در زمان ۱.۲ ثانیه و نسبت شعاع تاثیر به فاصله گرهی دو برابر (کورانت ۰/۵) همچنین با بررسی شکل ۶ جدول خطای حالت مرتبه دوم در حالت شعاع تاثیر دو برابر آمده است (جدول ۱).

مقدار شعاع تاثیر	مقدار خطای
دو برابر فاصله گرهها	۰/۵۰۳۸۳۷۰۷۹

از آنجایی که روش اجزای محدود مشخصه گالرکین از فرم ضعیف معادلات مرتبه دوم استفاده می‌کند، بنابراین انتظار می‌رود که لازم به بیان است که در روش بدون شبکه تیلور گالرکین، پارامتر شعاع تاثیر بسیار مورد اهمیت است و عدم انتخاب صحیح این پارامتر منجر به نتایج نامناسب می‌شود. لذا باید نتیجه‌های روش بدون شبکه تیلور گالرکین مرتبه دوم در شعاع تاثیر مناسب (در اینجا دو برابر فاصله گرهی) با روش اجزای محدود مشخصه گالرکین مقایسه شود. نتایج برای روش بدون شبکه تیلور گالرکین مرتبه سوم با سه شعاع تاثیر مختلف در شکل ۷ آمده است. با بررسی شکل ۷ جدول خطای



شکل ۴- نتیجه جواب روش گالرکین استاندارد گالرکین با کورانت ۰/۲۵ پس از گذشت ۰/۲ ثانیه در مسئله حرکت موج گوسی در ادامه نتیجه‌ی جواب روش اجزای محدود مشخصه گالرکین پس از گذشت ۱/۲ ثانیه در شکل ۵ آمده است.



شکل ۵- مقایسه جواب دقیق و اجزای محدود مشخصه گالرکین با کورانت ۰/۲۵ پس از گذشت ۱/۲ ثانیه در مسئله حرکت موج گوسی

مقدار خطای روش اجزای محدود مشخصه گالرکین بر اساس رابطه (۳۲) ، برابر با $۰/۵۳۲$ می‌باشد. با توجه به شکل می‌توان مشاهده کرد که روش اجزای محدود مشخصه گالرکین با گذشت زمان مقدار زیادی هموارشدن قابل ارزیابی به غلظت حداقل و مقداری نوسان بعد از آن دارد و توان شبیه‌سازی موج با دقت بالا را ندارد؛ اما با این وجود اضافه کردن جمله مرتبه دوم به معادلات سبب پایداری نتایج برای این مسئله شده است و بهبود قابل توجهی نسب به روش گالرکین استاندارد مشاهده می‌شود. در ادامه با استفاده از روش بدون شبکه تیلور گالرکین مرتبه بالا، مرحله به مرحله با افزایش مرتبه جملات در معادله، بررسی می‌شود که نتایج چگونه تغییر می‌کند. مقادیر خروجی برای روش بدون شبکه تیلور گالرکین مرتبه دوم با شعاع تاثیر دو برابر در شکل ۷ آمده است. عموماً این مقدار شعاع

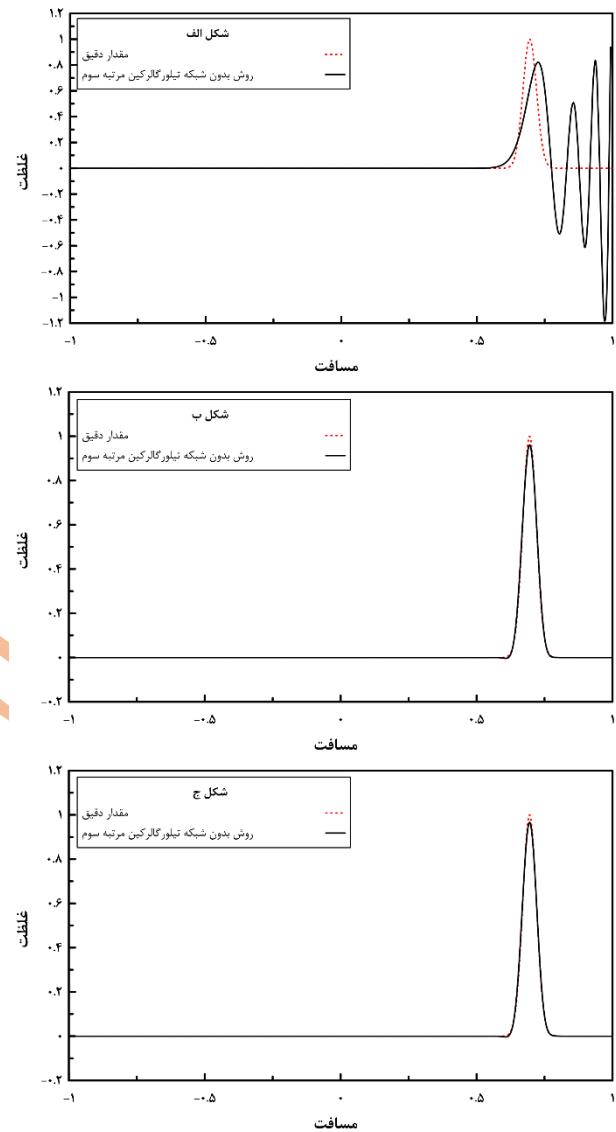
جدول ۲: مقادیر خطای روش بدون شبکه تیلورگالرکین مرتبه سوم در حالت آلفا
برابر 0.025×10^6 در مقادیر مختلف شعاع تاثیر

مقدار شعاع تاثیر	مقدار خطا
دو برابر فاصله گرهها	$9/495221666$
سه برابر فاصله گرهها	$0/234163197$
چهار برابر فاصله گرهها	$0/204655211$

نتایج نشان می‌دهد که با افزایش جملات پایداری مرتبه سوم، تاثیر جملات جابجایی بر معادله کاهش پیدا کرده و دقت به میزان قابل توجهی نسبت به حالت مرتبه دوم افزایش یافته است؛ اما همچنان مقادیر هموارشدنگی مشاهده می‌شود، به طوری که قله‌ی موج در حالت دقیق اندکی بالاتر از حالت مرتبه سوم است. همچنین این موضوع قابل مشاهده است که برخلاف حالت مرتبه دوم که در شعاع تاثیر دو برابر فاصله ی گرهی نتایج مناسبی نشان می‌داد، در حالت مرتبه سوم نیاز به شعاع تاثیر بزرگ‌تری برای ارائه نتایج مناسب می‌باشد؛ زیرا با افزایش دقت مرتبه، نیاز به نقاط بیشتری برای تحلیل می‌باشد.

نتایج برای روش بدون شبکه تیلورگالرکین مرتبه چهارم با دو شعاع تاثیر مختلف به صورت شکل ۸ است. با بررسی شکل ۸ جدول خطای حالت مرتبه چهارم نسبت به جواب دقیق در سه حالت شعاع تاثیر متفاوت آمده است (جدول ۳). این نکته نیز قابل ذکر است که نتایج در شعاع تاثیر دو برابری، به علت ناپایدار شدن شبیه‌سازی، نشان داده نشده است؛ زیرا برای محاسبه تابع مرتبه چهارم به تعداد نقاط بیشتری احتیاج است که در شعاع‌های تاثیر پایین تامین نمی‌شود.

حالات مرتبه سوم نسبت به جواب دقیق در سه حالت شعاع تاثیر متفاوت آمده است (جدول ۲).

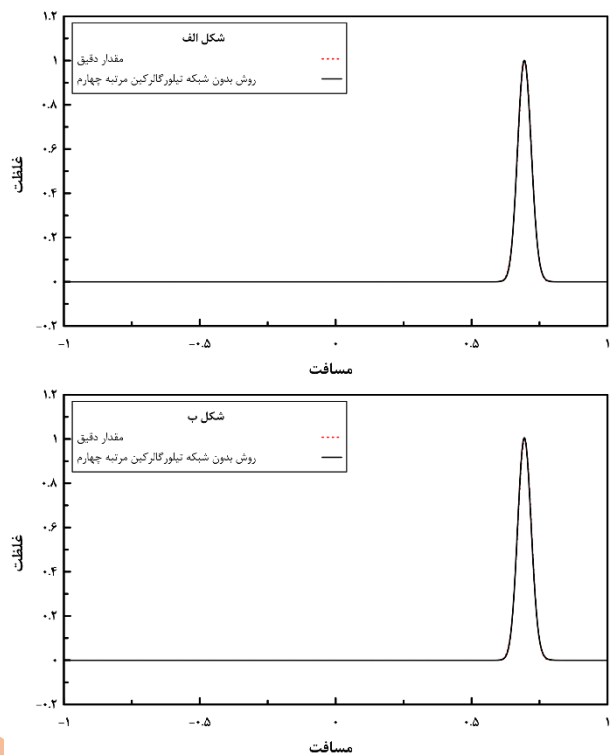


شکل ۷: مقایسه نتایج جواب دقیق و روش بدون شبکه تیلورگالرکین مرتبه سوم با کورانت 0.05 در زمان 1.2 ثانیه و نسبت شعاع تاثیر به فاصله گرهی: (الف) دو برابر؛ (ب) سه برابر؛ (ج) چهار برابر

جدول ۳: مقادیر خطای روش بدون شبکه تیلور گالرکین مرتبه چهارم در حالت آلفا برابر 0.025 در مقادیر مختلف شعاع تاثیر

مقدار شعاع تاثیر	مقدار خطأ
دو برابر فاصله گرهها	-
سه برابر فاصله گرهها	0.114719090
چهار برابر فاصله گرهها	0.125424365

دقیق‌ترین نتایج در حالت مرتبه چهارم مشاهده می‌شود. این دقت به میزانی افزایش یافته است که هموارشدنگی در نتایج رخ نداده است و جواب به میزان نسبتاً زیادی منطبق بر نتایج دقیق است. در نهایت مقادیر خطای بدست آمده از نتایج روش بدون شبکه تیلور گالرکین مرتبه بالا به صورت خلاصه در جدول ۴ آمده است.



شکل ۸: مقایسه نتایج جواب دقیق و روش بدون شبکه تیلور گالرکین مرتبه چهارم با کوانت 0.05 در زمان 1.2 ثانیه و نسبت شعاع تاثیر به فاصله گرهی: (الف) سه برابر؛ (ب) چهار برابر

جدول ۴- مقادیر خطای روش بدون شبکه تیلور گالرکین مرتبه دوم، سوم و چهارم دقت در مقادیر مختلف شعاع تاثیر

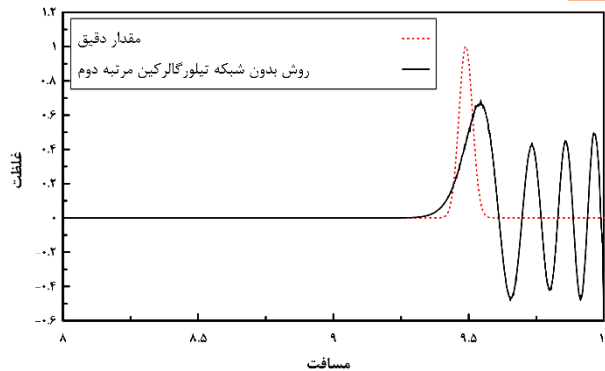
مرتبه روش بدون شبکه تیلور گالرکین	شعاع تاثیر سه برابر فاصله گرهی	شعاع تاثیر دو برابر فاصله گرهی	مقدار خطأ در آلفا برابر با 0.025
مرتبه دوم	-	$2/503837079$	0.204655211
مرتبه سوم	0.224163197	$9/495221666$	0.125424365
مرتبه چهارم	0.114719090	-	

که نتایج ناپایدار تحلیل در شکل زیر نیامده و برای بهبود تفکیک خطاهای، از مقیاس لگاریتمی استفاده شده است.

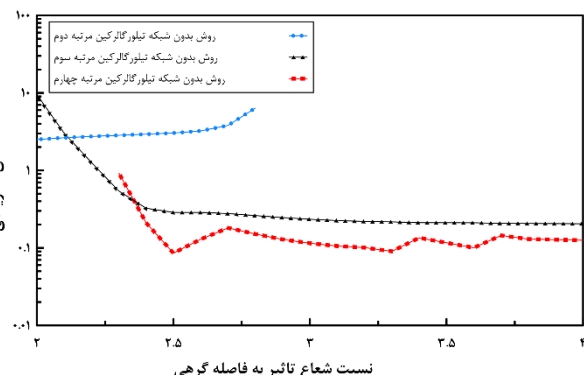
همانطور که در جدول ۴ مشخص است، روش بدون شبکه تیلور گالرکین در مرتبه چهارم با انتخاب حداقل شعاع تاثیر مورد نیاز، جواب‌های به نسبت دقیق‌تری از سایر مرتبه‌های پایین‌تر ارائه می‌دهد. برای یافتن شعاع تاثیر بهینه برای هر مرتبه‌ی دقت، مقدار خطای هر شعاع تاثیر از بازه‌ی دو تا چهار برابر فاصله گرهای محاسبه شده است. شکل ۹ مربوط به مقادیر خطای می‌باشد. لازم به ذکر است

روش پیشرو در زمان و پسرو در مکان به علت سادگی در گستته‌سازی مکانی نسبت به روش بدون شبکه تیلورگالرکین مرتبه بالا به طور قبل ملاحظه‌ای مسائل را سریع‌تر تحلیل می‌کنند. به عنوان مثال در مسئله حل شده، هر گام زمانی در تحلیل عددی با روش بدون شبکه تیلورگالرکین مرتبه چهارم برابر با 0.1406 ثانیه می‌باشد؛ در حالی که هر گام زمانی در روش فرام تنها 0.0003 ثانیه زمان می‌برد. بکارگیری روش با درجه دقت بالا بی‌شک از روش‌های عددی ساده‌تر مانند روش فرام و روش پیشرو در زمان و پسرو در مکان زمان‌برتر است؛ اما دقتش که این روش در اختیار می‌گذارد چه بسا با چندین برابر کردن شبکه در روش‌های عددی ساده‌تر بدست نمی‌آید؛ هر چند که در کاربردهایی ممکن است حتی کاهش ابعاد شبکه عملی نباشد.

در حالت دوم تحلیل مسئله موج گوسی، دامنه محاسباتی افزایش پیدا کرده است. نتایج حاصل شده پس از گذشت 10 ثانیه برای مرتبه دوم دقت در شکل 11 ، مرتبه سوم دقت در شکل 12 و مرتبه چهارم دقت در شکل 13 آمده است. در این حالت دامنه محاسباتی به 1100 سلول پس‌زمینه تقسیم شده که شامل 1101 گره با فاصله‌های Δx برابر 0.001 است و به مانند قبلاً گام زمانی 0.0005 می‌باشد (کورانت 0.05).



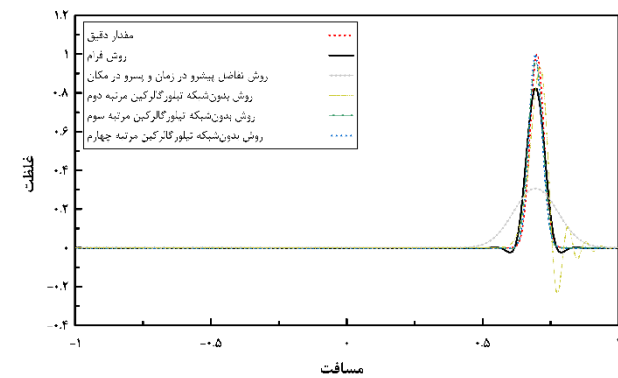
شکل ۱۱- مقایسه نتایج جواب دقیق و روش بدون شبکه تیلورگالرکین مرتبه دوم با کورانت 0.05 در زمان 10 ثانیه و نسبت شاعع تاثیر به فاصله گرهی دو برابر



شکل ۹: مقادیر خطای لگاریتمی روش بدون شبکه تیلورگالرکین مرتبه بالا در نسبت شاعع تاثیر به فاصله گرهی مختلف

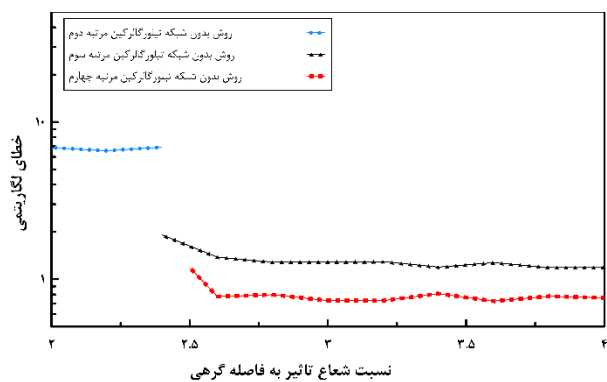
این نکته نیز باید بیان شود که روش‌های بدون شبکه به علت استفاده از تابع شکل حداقل مربعات متحرک، نیاز به زمان بیشتری برای محاسبات نسبت به تابع شکل اجزای محدود دارند. این هزینه محاسباتی زمانی محسوس می‌شود که از جملات مرتبه‌ی بالاتری در معادلات استفاده شود؛ زیرا لازم است علاوه بر محاسبه‌ی تابع شکل در هر نقطه، مشتقه‌ای آن نیز طبق رابطه (28) استفاده شود. لذا پیشنهاد می‌شود برای مسائلی که پیچیدگی محاسبات بالایی دارند، از جملات مرتبه‌ی بالا استفاده شود.

در انتهای تحلیل مسئله در حالت اول، نتایج حاصل شده قبلی با روش فرام و روش پیشرو در زمان و پسرو در مکان با 201 گره و در گام زمانی 0.0005 ثانیه (کورانت 0.05) در شکل 10 آورده شده است.



شکل ۱۰- مقایسه نتایج روش بدون شبکه تیلورگالرکین مرتبه بالا با روش فرام و روش پیشرو در زمان و پسرو در مکان با کورانت 0.05 در مسئله با دامنه کوچک

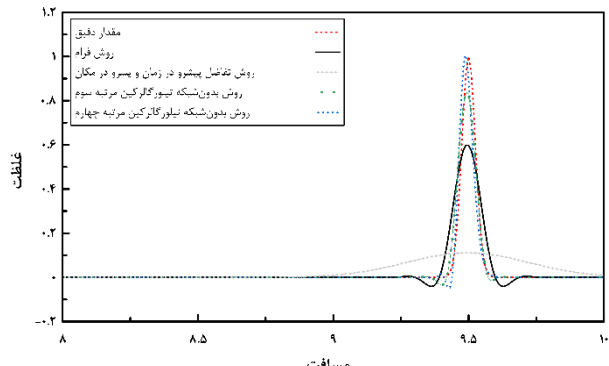
با مشاهده شکل 10 می‌توان نتیجه گرفت که در کورانت برابر، روش بدون شبکه تیلورگالرکین مرتبه بالا نتایج بهتری نسبت به دو روش دیگر می‌دهد. البته ذکر این نکته نیز ضروری است که روش فرام و



شکل ۱۴- مقادیر خطای لگاریتمی روش بدون شبکه تیلورگالرکین مرتبه بالا در نسبت شعاع‌های تاثیر به فاصله گرهی مختلف در مسئله گوسی با دامنه بزرگ‌تر

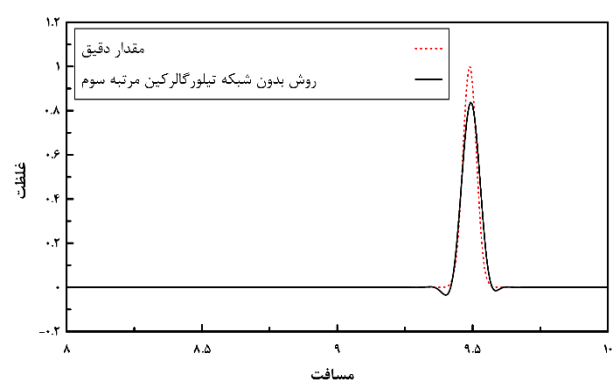
با توجه به شکل ۱۴ می‌توان مشاهده کرد با افزایش دقت مرتبه، خطای حاصل شده کمتر خواهد شد؛ اما همچنان می‌توان نوسانات خطای در شعاع‌های تاثیر مختلف مشاهده کرد.

در انتهای تحلیل مسئله در حالت دوم، نتایج حاصل شده قبلی با روش فرام و روش پیشرو در زمان و پسرو در مکان با 1101 گره و در گام زمانی 0.005 ثانیه (کورانت 0.05) در شکل ۱۵ آورده شده است.

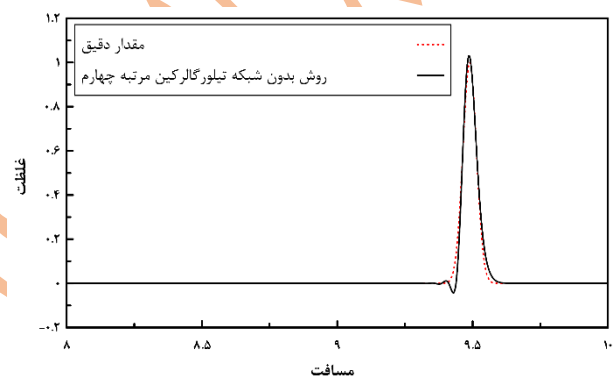


شکل ۱۵- مقایسه نتایج روش بدون شبکه تیلورگالرکین مرتبه بالا با روش فرام و روش پیشرو در زمان و پسرو در مکان با کورانت 0.05 در مسئله گوسی با دامنه بزرگ

در این مسئله نیز به عنوان مثال هر گام زمانی در تحلیل عددی با روش بدون شبکه تیلورگالرکین مرتبه چهارم برابر با 7187 ثانیه می‌باشد؛ در حالی که هر گام زمانی در روش فرام تنها 0.0014 ثانیه زمان می‌برد. با مقایسه نتایج شکل ۱۵ می‌توان نتیجه گرفت که به ازای صرف هزینه محاسباتی بیشتر برای روش بدون شبکه تیلورگالرکین مرتبه بالا، نتایج مطلوب‌تری بدست می‌آید.



شکل ۱۲- مقایسه نتایج جواب دقیق و روش بدون شبکه تیلورگالرکین مرتبه سوم با کورانت 0.05 در زمان 10 ثانیه و نسبت شعاع تاثیر به فاصله گرهی سه برابر



شکل ۱۳- مقایسه نتایج جواب دقیق و روش بدون شبکه تیلورگالرکین مرتبه سوم با کورانت 0.05 در زمان 10 ثانیه و نسبت شعاع تاثیر به فاصله گرهی چهار برابر

با مقایسه نتایج می‌توان مشاهده کرد که با گذشت زمان 10 ثانیه همچنان روش بدون شبکه تیلورگالرکین مرتبه چهارم نتایج قابل قبول‌تری نسبت به باقی روش‌ها می‌دهد.

مقدار خطای هر شعاع تاثیر از بازه‌ی دو تا چهار برابر فاصله گره‌ها محاسبه شده است. شکل ۱۴ مربوط به مقادیر خطای می‌باشد. لازم به ذکر است که نتایج ناپایدار تحلیل در شکل زیر نیامده و برای بهبود تفکیک خطاهای از مقیاس لگاریتمی استفاده شده است.

۳-۱- مسئله دوم (ضربه قوچ کلاسیک):

مسئله ضربه قوچ نیز یک مسئله جابجایی خالص یک بعدی است که متغیر Φ در آن، یک متغیر برداری شامل سرعت و فشار است. پدیده‌ی ضربه قوچ از تغییر ناگهانی سرعت در لوله به وجود می‌آید که به همین علت، سبب افزایش یا کاهش ناگهانی فشار در لوله می‌شود. حل عددی مسئله‌ی ضربه قوچ از آن جهت حائز اهمیت است که به علت ناگهانی و لحظه‌ای بودن تغییرات سرعت در لوله، تغییرات هد در لوله نیز بسیار سریع می‌باشد که سبب به وجود آمدن ناپیوستگی در هد می‌شود. این ناپیوستگی به وجود آمده، شبیه‌سازی عددی را با دشواری روپرتو می‌کند.

متغیر معادله حاکم مسئله ضربه قوچ کلاسیک بدون در نظر گیری اصطکاک به صورت رابطه (۳۳) و (۳۴) است.

$$\frac{\partial V}{\partial t} + g \frac{\partial H}{\partial x} = 0 \quad (33)$$

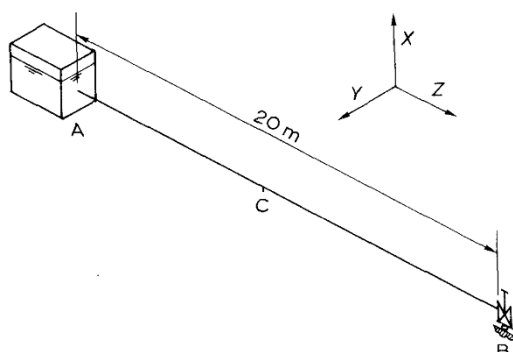
$$\frac{\partial V}{\partial x} + \frac{g}{c_f^2} \frac{\partial H}{\partial t} = 0 \quad (34)$$

که در این روابط V بیانگر سرعت سیال، H هد سیال، c_f سرعت موج سیال و g شتاب گرانشی زمین است. معادله حاکم این مسئله را می‌توان به صورت رابطه (۳۵) نوشت:

$$\frac{\partial \Phi}{\partial t} + U \frac{\partial \Phi}{\partial x} = 0 \quad (35)$$

که در این رابطه، $U = \begin{bmatrix} 0 & g \\ c_f^2 & 0 \end{bmatrix}$ و $\Phi = \begin{bmatrix} V \\ H \end{bmatrix}$ است.

مسئله دوم مورد بررسی در این پژوهش، مسئله مرجع دلفت می‌باشد (شکل ۱۶) که مشخصات آن در جدول ۵ آمده است [۲۲].



شکل ۱۶: سیستم مخزن-لوله-شیر مسئله معیار دلفت

جدول ۵: مشخصات مسئله ضربه قوچ کلاسیک مرجع دلفت

مقادیر	مشخصات مسئله
۲۰	طول لوله (متر)
۸۱۳	قطر خارجی لوله (میلی‌متر)
۸	ضخامت جداره لوله (میلی‌متر)
۲۱۰	مدول یانگ (گیگا پاسکال)
۲/۱	مدول بالک (گیگا پاسکال)
۱	سرعت سیال (متر بر ثانیه)
۱۰۰۰	چگالی سیال (کیلوگرم بر متر مکعب)
۰/۳	ضریب پواسون

دامنه مسئله به صورت $(0, +20) = x$ است. شرایط مرزی در یچله در مرزها نیز به صورت رابطه (۳۶) است:

$$V(20, t) = 0 \quad H(0, t) = 0 \quad x \in \Gamma \quad (36)$$

همچنین شرایط اولیه نیز برابر است با:

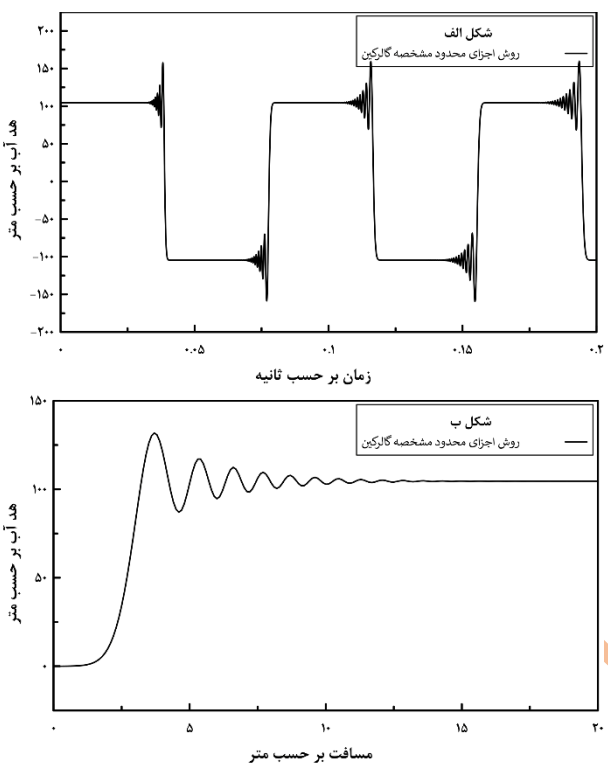
$$V(x, t=0) = 1.0 \quad H(x, t=0) = 0.0 \quad (37)$$

سرعت موج سیال طبق رابطه هلمهولتز-کورتوگ محاسبه می‌شود که به صورت رابطه (۳۸) می‌باشد:

$$a_{HK} = \sqrt{\frac{K}{\rho_f \left(1 + \frac{DK}{eE}\right)}} \quad (38)$$

در این رابطه K مدول بالک، ρ_f چگالی سیال، D قطر لوله، e ضخامت جداره لوله و E مدول یانگ است. سرعت موج سیال طبق رابطه (۳۸) برابر با 1025 می‌باشد.

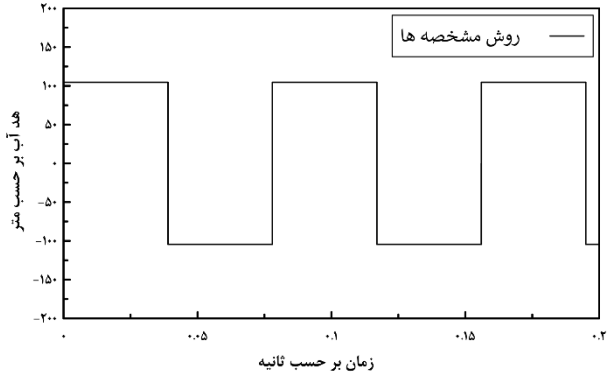
مسئله با دو روش اجزای محدود مشخصه گالرکین و روش بدون شبکه تیلور گالرکین مرتبه سوم و چهارم حل شده است. دامنه محاسباتی به 200 سلول پس‌زمینه تقسیم شده که شامل 201 گره با فاصله‌های Δx برابر 0.1 است. درون هر کدام از این سلول‌های پس‌زمینه، از 5 نقطه‌ی گوس استفاده شده است. همچنین گام زمانی در حالت اول برابر با 0.00005 ثانیه (کورانت 0.05) و در حالت دوم برابر با



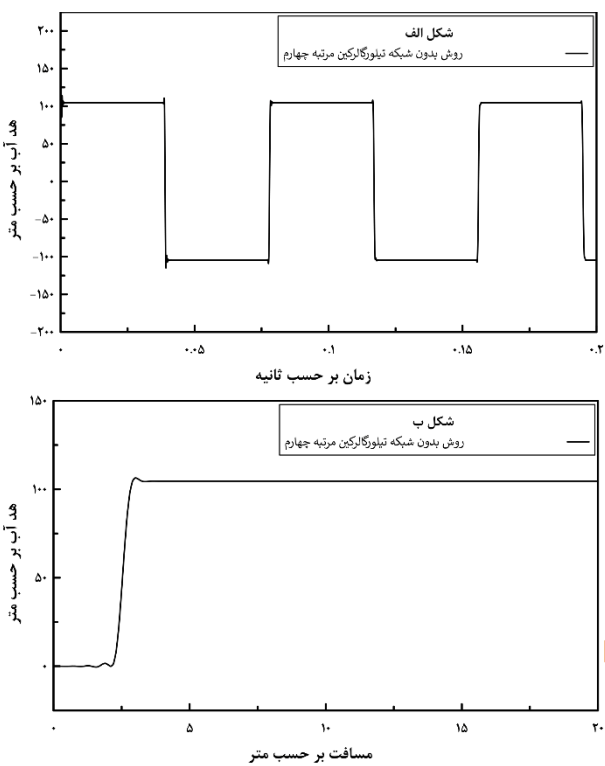
شکل ۱۸: نتایج تحلیل عددی مسئله ضربه قوچ کلاسیک با روش اجزای محدود مشخصه گالرکین (با کورانت ۰/۵)؛ (الف) تاریخچه زمانی هد در ناحیه شیر؛ (ب) هد-مکان در زمان ۰/۱ ثانیه

مقدار نوسانات حاصل شده در روش اجزای محدود مشخصه گالرکین بسیار قابل ملاحظه است. بنابراین برای افزایش دقت، جملات مرتبه‌ی بالاتر به معادله اضافه می‌شود. با حل حالت اول مسئله با روش بدون شبکه تیلور گالرکین مرتبه سوم، نتایج شکل ۱۹ حاصل شده است. شکل ۱۹-الف مربوط به تاریخچه زمانی هد در ناحیه شیر و شکل ۱۹-ب مربوط به هد-مکان در زمان ۰/۱ ثانیه است.

$p^T(x) = \{1, x\}$ و شعاع تاثیر ۰/۷۵ ثانیه (کورانت ۰/۷۵)، $2/2$ برابر فاصله‌ی گره‌ها در نظر گرفته شده است. نتایج مسئله تا زمان ۰/۲ ثانیه تحلیل شده است. همچنین مقدار تاریخچه زمانی هد در ناحیه شیر با استفاده از روش مشخصه‌ها در شکل ۱۷ آمده است.

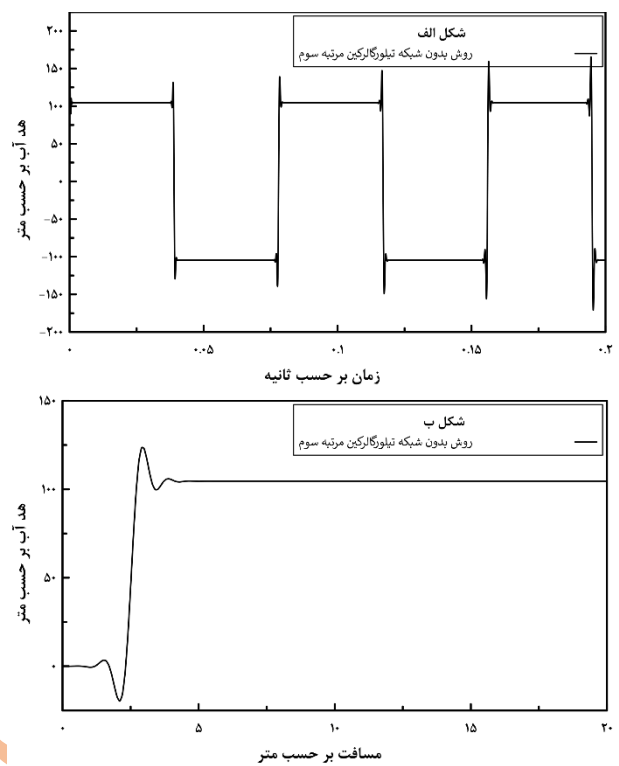


شکل ۱۷: مقدار تاریخچه زمانی هد در ناحیه شیر برای ضربه قوچ کلاسیک نتایج بدست آمده با روش اجزای محدود مشخصه گالرکین در شکل ۱۸ نشان داده شده است که شکل ۱۸-الف مربوط به تاریخچه زمانی هد در ناحیه شیر و شکل ۱۸-ب مربوط به هد-مکان در زمان ۰/۱ ثانیه است.



شکل ۲۰: نتایج تحلیل عددی مسئله ضربه قوچ کلاسیک با روش بدون شبکه تیلورگالرکین مرتبه چهارم (با کورانت 0.05): (الف) تاریخچه زمانی هد در ناحیه شیر؛ (ب) هد-مکان در زمان 0.1 ثانیه

با حل حالت دوم این مسئله با روش بدون شبکه تیلورگالرکین مرتبه چهارم، نتایج شکل ۲۱ اصل شده است. شکل ۲۱-الف مربوط به تاریخچه‌ی زمانی هد در ناحیه شیر و شکل ۲۱-ب مربوط به هد-مکان در زمان 0.1 ثانیه است. شایان ذکر است در این کورانت روش بدون شبکه تیلورگالرکین مرتبه سوم نتایج ناپایداری از خود نشان می‌دهد.



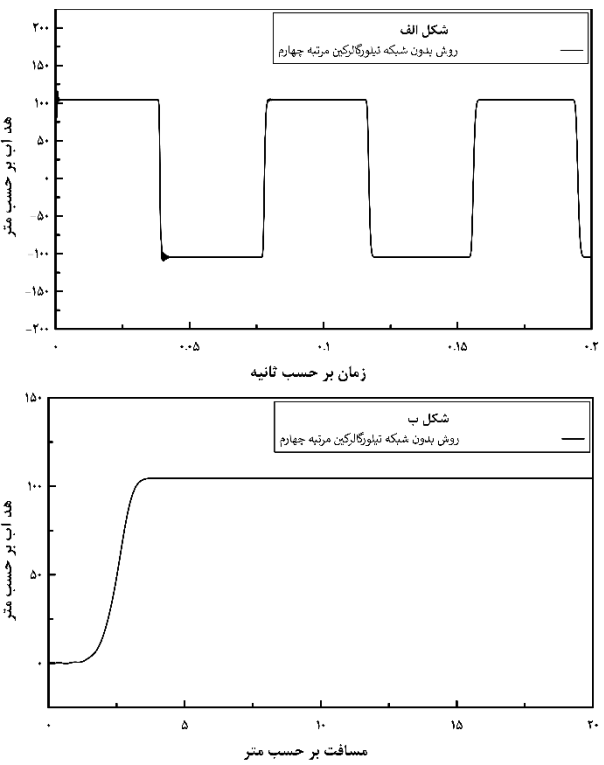
شکل ۱۹: نتایج تحلیل عددی مسئله ضربه قوچ کلاسیک با روش بدون شبکه تیلورگالرکین مرتبه سوم (با کورانت 0.05): (الف) تاریخچه زمانی هد در ناحیه شیر؛ (ب) هد-مکان در زمان 0.1 ثانیه

با مقایسه نتایج حاصل شده نسبت به روش اجزای محدود مشخصه گالرکین می‌توان مشاهده کرد نوسانات کاهش یافته و حل عددی با دقت بیشتری انجام می‌شود؛ اما همچنان این پتانسیل وجود دارد تا نتایج به دقت و پایداری مناسب‌تری بررسند. بنابراین حالت اول مسئله با روش بدون شبکه تیلورگالرکین مرتبه چهارم حل شده که نتایج آن در شکل ۲۰ آمده است. شکل ۲۰-الف مربوط به تاریخچه‌ی زمانی هد در ناحیه شیر و شکل ۲۰-ب مربوط به هد-مکان در زمان 0.1 ثانیه است. مقادیر بدست آمده در حالت مرتبه چهارم، نوسانات بسیار اندکی نسبت به باقی روش‌ها نشان می‌دهد و با توجه به پیچیدگی شبیه‌سازی ناپیوستگی، می‌توان تاثیر جملات پایداری مرتبه چهارم را در نتایج مشاهده کرد.

ساخت تا بتوان از جملات مرتبه بالا استفاده کرد و دقت تحلیل را افزایش داد؛ هرچند پیچیدگی اینتابع نسبت به تابع شکل اجزای محدود باعث شده است که مدت زمان محاسبه آن طولانی تر شود. طبیعتاً افزایش مرتبه معادله، نیاز به محاسبات مشتقات مرتبه بالا تابع شکل دارد و باعث طولانی تر شدن زمان تحلیل عددی می‌شود. در انتهای می‌توان بیان کرد که روش بدون شبکه تیلورگالرکین مرتبه بالا، روش مناسبی برای حل مسائل جابجایی خالص می‌باشد که بسته به نیاز مسئله می‌توان جملات مرتبه بالاتری استفاده کرد. همچنین برای مسائل دو بعدی نیز می‌توان با بازنویسی روابط برای حالت دو بعدی، مسائل پیچیده‌تری را حل کرد.

منابع

- [۱] O.C. Zienkiewicz, R. Gallagher, P. Hood, Newtonian and non-Newtonian viscous incompressible flow. Temperature induced flows. Finite element solutions, *The Mathematics of Finite Elements and Applications II*, (۱۹۷۵).
- [۲] R.L. Taylor, O.C. Zienkiewicz, *The finite element method*, Butterworth-Heinemann Oxford, ۲۰۱۳.
- [۳] G.L. Guymon, V. Scott, L. Herrmann, A general numerical solution of the two-dimensional diffusion-convection equation by the finite element method, *Water Resources Research*, ۶(۶) (۱۹۷۰) ۱۶۱۱-۱۶۱۷.
- [۴] T. J. Hughes, A multidimensional upwind scheme with no crosswind diffusion, *Finite element methods for convection dominated flows*, AMD ۳۴, (۱۹۷۹).
- [۵] T. J. Hughes, A theoretical framework for Petrov-Galerkin methods with discontinuous weighting functions: Application to the streamline-upwind procedure, *Finite element in fluids*, ۴ (۱۹۸۲) Chapter ۳.
- [۶] C. Johnson, J. Saranen, Streamline diffusion methods for the incompressible Euler and Navier-Stokes equations, *Mathematics of Computation*, ۴۷(۱۷۵) (۱۹۸۶) ۱-۱۸.
- [۷] C. Johnson, U. Navert, J. Pitkaranta, Finite element methods for linear hyperbolic problems, *Computer methods in applied mechanics and engineering*, ۴۵ (۱۹۸۴) ۲۸۵-۳۱۲.
- [۸] J. Douglas Jr, T.F. Russell, Numerical methods for convection-dominated diffusion problems based on combining the method of characteristics with finite element or finite difference procedures, *SIAM Journal on Numerical Analysis*, ۱۹(۵) (۱۹۸۲) ۸۷۱-۸۸۵.
- [۹] M. A. Celia, T.F. Russell, I. Herrera, R.E. Ewing, An Eulerian-Lagrangian localized adjoint method for the advection-diffusion equation, *Advances in water resources*, ۱۳(۴) (۱۹۹۰) ۱۸۷-۲۰۶.
- [۱۰] T. J. Hughes, L.P. Franca, G.M. Hulbert, A new finite element formulation for computational fluid dynamics: VIII.



شکل ۲۱- نتایج تحلیل عددی مسئله ضربه قوچ کلاسیک با روش بدون شبکه تیلورگالرکین مرتبه چهارم (با کورانت ۰/۷۵): (الف) تاریخچه زمانی هد در ناحیه شیر؛ (ب) هد-مکان در زمان ۰/۱ ثانیه

۴ - نتیجه‌گیری

در این پژوهش روش بدون شبکه تیلورگالرکین مرتبه بالا برای حل مسائل جابجایی خالص ارائه گردید. در این روش با بهره‌گیری از جملات مشتق مرتبه بالا در بسط تیلور و گسسته‌سازی زمانی آن، این امکان به وجود آمد تا پایداری تحلیل و دقت شبیه‌سازی افزایش یابد. برخلاف محدودیت روش گالرکین استاندارد که استفاده از جملات مرتبه بالا حداکثر تا مرتبه دو ممکن است، این روش با بهره‌گیری از تابع شکل حداقل مربعات متحرک و تابع وزن نمایی، امکان استفاده از جملات با مشتق مرتبه بالا را در معادله مقدور می‌سازد. دو مسئله مرجع برای بررسی توانمندی روش ارائه شده، مورد بررسی قرار گرفته است. با توجه به خروجی‌های حاصل شده، ملاحظه گردید که با هر مرحله افزایش مرتبه روش بدون شبکه تیلورگالرکین، خطاهای به وجود آمده به میزان قابل توجهی کاهش یافته است. تابع شکل حداقل مربعات متحرک این قابلیت را ممکن

The Galerkin/least-squares method for advective-diffusive equations, Computer methods in applied mechanics and engineering, 73(2) (1989) 173-189.

[11] O.C. Zienkiewicz, Finite elements in fluid mechanics: A decade of progress, Institute for Numerical Methods in Engineering, University College of SWansea, 1983.

[12] R. Löhner, K. Morgan, O.C. Zienkiewicz, The solution of non-linear hyperbolic equation systems by the finite element method, International Journal for Numerical Methods in Fluids, 4(11) (1984) 143-163.

[13] J. Donea, A Taylor-Galerkin method for convective transport problems, International Journal for Numerical Methods in Engineering, 20(1) (1984) 101-119.

[14] X.H. Zhang, J. Ouyang, L. Zhang, Element-free characteristic Galerkin method for Burgers' equation, Engineering Analysis with Boundary Elements, 33(3) (2009) 356-362.

[15] X. Wang, H. Wang, Y. Liu, A semi-Lagrangian meshfree Galerkin method for convection-dominated partial differential equations, Computer Methods in Applied Mechanics and Engineering, 391 (2022) 114546.

[16] Y. Liu, W. Zhang, Y. Jiang, Z. Ye, A high-order finite volume method on unstructured grids using RBF reconstruction, Computers & Mathematics with Applications, 77(4) (2019) 1096-1114.

[17] R. Li, Q. Wu, S. Zhu, Proper orthogonal decomposition with SUPG-stabilized isogeometric analysis for reduced order modelling of unsteady convection-dominated convection-diffusion-reaction problems, Journal of Computational Physics, 387 (2019) 280-302.

[18] S. Grimberg, C. Farhat, N. Youkilis, On the stability of projection-based model order reduction for convection-dominated laminar and turbulent flows, Journal of Computational Physics, 419 (2020) 109681.

[19] V. Singh, R. Mohanty, Local meshless method for convection dominated steady and unsteady partial differential equations, Engineering with Computers, 35 (2019) 803-812.

[20] A. Javed, F. Mazhar, T.A. Shams, M. Ayaz, N. Hussain, A stabilized RBF finite difference method for convection dominated flows over meshfree nodes, Engineering Analysis with Boundary Elements, 107 (2019) 159-167.

[21] G.-R. Liu, Y.-T. Gu, An introduction to meshfree methods and their programming, Springer Science & Business Media, 2004.

[22] A.S. Tijsseling, Exact solution of linear hyperbolic four-equation system in axial liquid-pipe vibration, Journal of Fluids and Structures, 18(1) (2003) 179-197.